

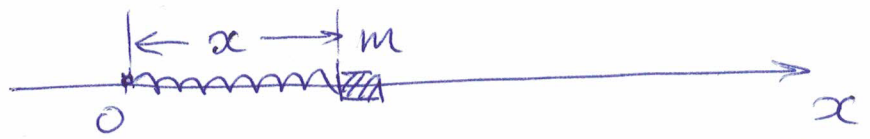
Семинар 3

Тренируемся в построении фазовых портретов для систем с одной степенью свободы.

Пример 1

Гармонический осциллятор -

это грузик m на пружинке с идеальной силой упругости $F_{\text{упр.}} = -kx$, k - коэффициент упругости



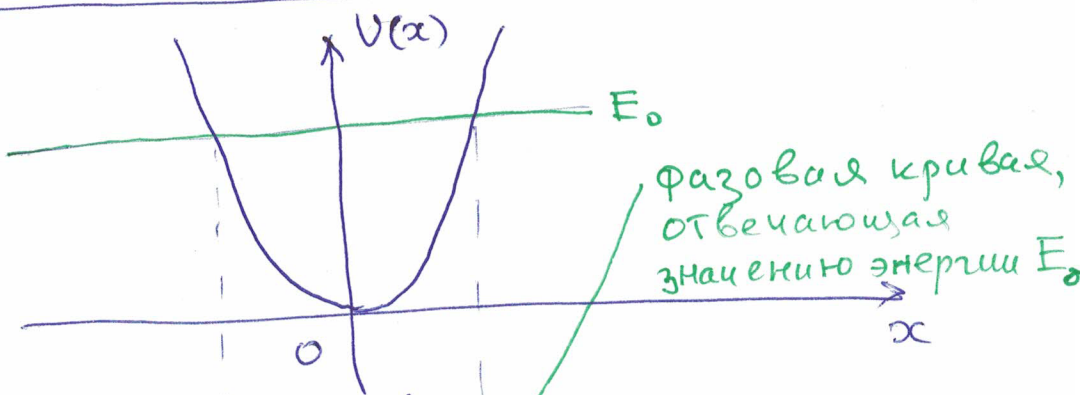
Потенциальная энергия силы упругости:

$$V(x) = - \int F_{\text{упр.}}(x) dx = \frac{kx^2}{2}$$

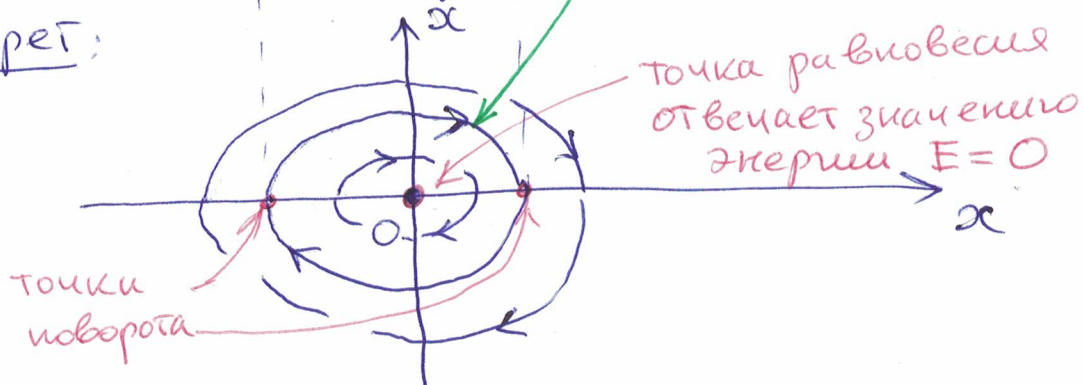
Закон сохранения энергии имеет вид:

$$E = \frac{m\dot{x}^2}{2} + \frac{kx^2}{2}$$

График $V(x)$:



Фазовый портрет:



Удобно рисовать фазовый портрет под графиком потенциальной энергии $U(x)$ (см. рис. вверху) (2)

Комментарии к рисунку:

- 1) Точка нуля $x=0$ и $\dot{x}=0$ отвечает точке минимума потенциальной энергии:
 $U'(0)=0 \quad U''(0)>0$

Это особая точка фазового портета типа "центр".

Эта точка — отдельная фазовая траектория.

- 2) Остальное фазовое кривое — эллипс

$$\text{const} = E_0 = \frac{m\dot{x}^2}{2} + \frac{kx^2}{2}$$

Точки $x_{1,2} = \pm \sqrt{\frac{2E_0}{k}}$ на этих фазовых кривых являются точками поворота ($U(x_{1,2})=E_0$)

- 3) Каждая фазовая кривая имеет свои минимумы и максимумы $\dot{x}_{1,2} = \pm \sqrt{\frac{E_0}{2m}}$
в точке $x=0$ минимума потенциальной энергии $U(x)$

- 4) Точное общее решение уравнений движений гармонического осциллятора $m\ddot{x} = F_{\text{упр}}$ имеет вид:

$$x(t) = X_0 \cos(\sqrt{\frac{k}{m}} t - \varphi_0)$$

Здесь φ_0 и $X_0 = \sqrt{\frac{2E_0}{k}}$ определяются началь-

(3)

иогии движущие задачи. Период обращения по фазовой кривой:

$$\boxed{T = \frac{2\pi}{\omega}, \text{ где } \omega = \sqrt{\frac{k}{m}} = \sqrt{\frac{U''(x_0)}{m}}}, \quad (*)$$

что согласуется с общей теорией (см. стр 5 лекции). В случае произвольного потенциала $U(x)$ в окрестности его минимума $x_0: U'(x_0) = 0,$
 $U''(x_0) > 0$, формула (*) выполняется приближенно. Докажем её.

Пусть $x = x_0 + \Delta x$ — точка в малой окрестности x_0 . Движение происходит по фазовой кривой отвечающей значению энергии $E = U(x_0) + \Delta E$ кемпко большему $U(x_0)$. В терминах перемещения Δx закон сохранения энергии системы имеет вид:

$$U(x_0 + \Delta x) + \frac{m \dot{\Delta x}^2}{2} = E = U(x_0) + \Delta E$$

Разлагая $U(x)$ в окрестности x_0 до 2 порядка по Δx

$$\text{имеем: } \frac{U''(x_0) \Delta x^2}{2} + \frac{m \ddot{\Delta x}^2}{2} = \Delta E + O(\Delta x^2)$$

Приближенное решение этого дифурда:

$$\Delta x(t) \cong x_0 \cos \left(\sqrt{\frac{U''(x_0)}{m}} t + \varphi_0 \right),$$

откуда имеем

$$\boxed{T \cong \frac{2\pi}{\omega}, \text{ где } \omega = \sqrt{\frac{U''(x_0)}{m}}}$$

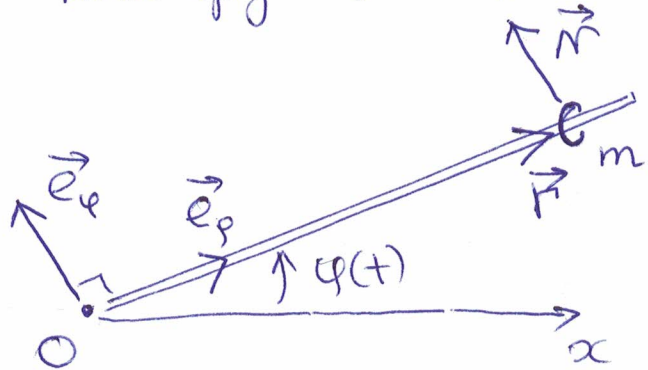
Пример 2: Гармонический осциллятор

"вверх торшаками", то есть система с потенциалом $U(x) \sim -x^2$.

Представим физическую реализацию этой системы.

Это бусинка на вращающейся в плоскости жесткой, невесомой, гладкой (нет трения) стержне.

Стержень закреплен в начале координат ИСО (инерциальной системы отсчета), вращается под действием внешней силы. Угол поворота стержня — известная функция времени $\varphi(t)$. Масса бусинки — m .



Уравнение Ньютона для бусинки

$$m \ddot{\vec{r}} = \vec{N},$$

где \vec{N} — сила реакции

стержня, $\vec{N} \perp \vec{r}$ (трение нет).

Удобно уравнение Ньютона переписать в консервативной системе координат:

$$\ddot{\vec{r}} = \rho \vec{e}_\varphi, \quad \vec{N} = N \cdot \vec{e}_\varphi,$$

где ρ и N — величины векторов \vec{r} и \vec{N} .

Водимаем: $\dot{\vec{r}} = \dot{\rho} \vec{e}_\varphi + \rho \dot{\varphi} \vec{e}_\varphi$

$$\ddot{\vec{r}} = (\ddot{\rho} - \rho \dot{\varphi}^2) \vec{e}_\varphi + (2\dot{\rho}\dot{\varphi} + \rho \ddot{\varphi}) \vec{e}_\varphi$$

Уравнения Ньютона в нонервных координатах; (5)

$$\vec{F}_\varphi: m(\ddot{\varphi} - \varphi \dot{\varphi}^2) = 0$$

$$\vec{F}_\varphi: m(2\dot{\varphi}\dot{\varphi} + \varphi \ddot{\varphi}) = N$$

Первое уравнение служит для определения закона движения бусинки по стержню: $\varphi(t)$ ($\varphi(t)$ нам известна).

Второе уравнение позволяет затем вычислить силу реакции стержня $N(t)$.

Бусинка движется по закону:

$$\boxed{\ddot{\varphi} = \varphi \dot{\varphi}^2}$$

Если теперь вернуться к закону равномерного вращения стержня $\varphi = \omega t$, то

$$\boxed{\ddot{\varphi} = \omega^2 \varphi}$$

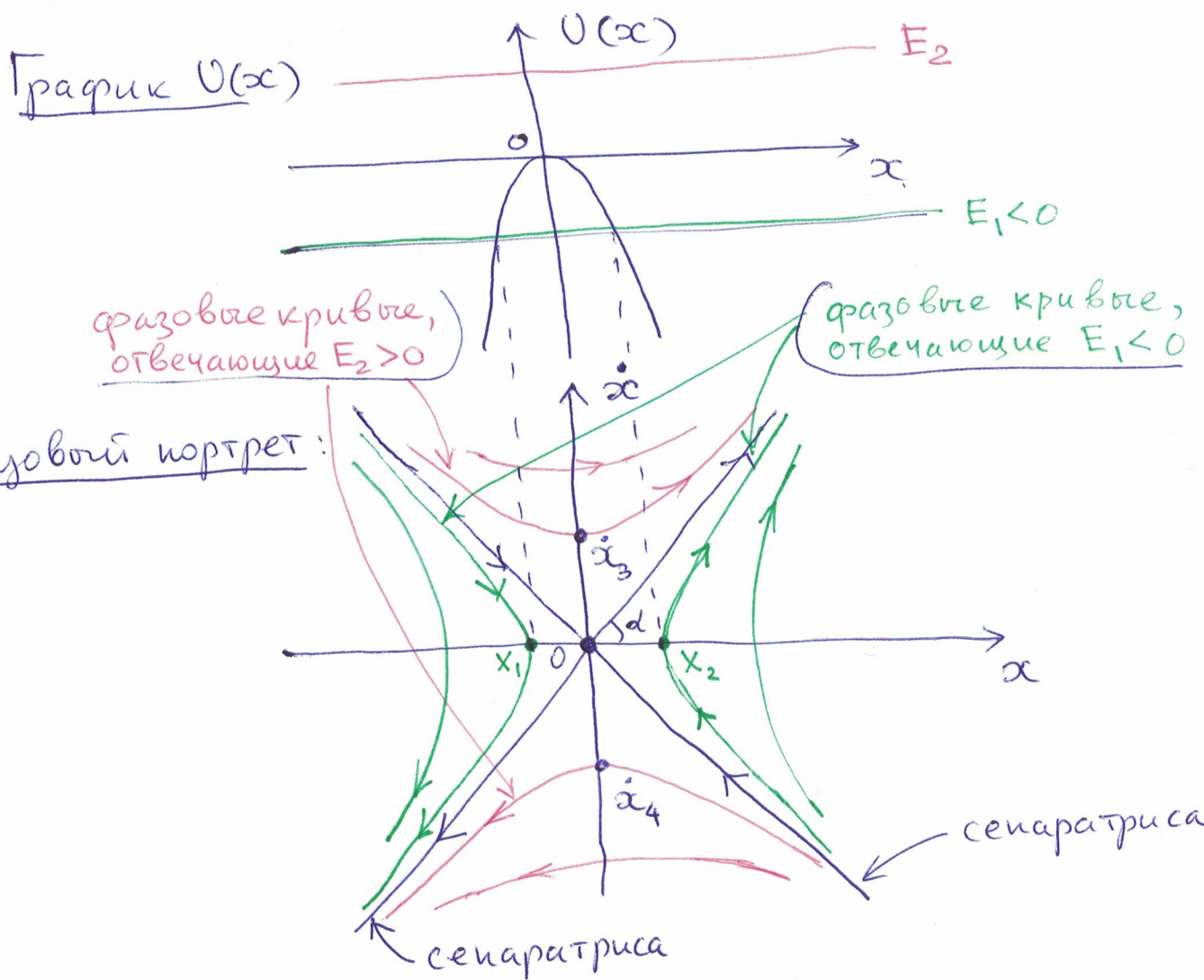
Потенциальная энергия этой системы $U(\varphi) = -\frac{\omega^2 \varphi^2}{2}$.
Это и есть осциллятор "вверх тормашками".

Закон сохранения энергии в этой системе имеет вид

$$\boxed{E = \frac{m \dot{x}^2}{2} - \frac{\omega^2 x^2}{2}}$$

тут же заменим обозначение переменной $\varphi \mapsto x$.

Радиальный портрет систем:



Комментарий к радиальному портрету

1) При энергии $E=0$ движение системы происходит по сепаратрисам

$$\dot{x} = \pm \sqrt{\frac{\omega^2}{m}} x \quad (**)$$

Точка неустойчивого равновесия $x=0$ (локальный максимум $U(x)$), $\dot{x}=0$, лежит в перекрестье сепаратрис.

Она сама является радиальной траекторией.

И она разбивает сепаратрисы на компоненты «звездочки» — 4 луга. Это — еще 4 радиальных траектории. С одной на другую «перепрыгнуть»

нельзя. Въехать по лугу в току неустой- (7)
чивого равновесия $x = \dot{x} = 0$ за конечное время
нельзя. Всего имеем 5 различных фазовых
траекторий, отвечающих значению энергии
 $E = 0$.

2) При энергии $E_1 < 0$ движение системы
происходит по гиперболе (см. рис.). Таких
гипербол - 2 штуки. Каждая из гипербол имеет
токи поворота $x_{1,2}$: $V(x_{1,2}) = E_1$. Движение по
каждой фазовой кривой происходит на полуциркульной
 $x < x_1$ ($x > x_2$).

3) При энергии $E_2 > 0$ движение тоже происходит
по 2-м гиперболам (см. рис.). Однако
это движение не ограничено по переменной x .
Зато у этих двух фазовых кривых есть
точки минимума/максимума - \dot{x}_3/\dot{x}_4 . Этот
экстремум скорости служит ровно наст токой
локального экстремума $x=0$ потенциальной энер-
гии.

4) Вернёмся к сепаратрисам: из формулы
(**) стр. 6 заключаем, что для угла α их наклона

$$\operatorname{tg} \alpha = \pm \sqrt{\frac{\omega^2}{m}} = \pm \sqrt{-\frac{V''(0)}{m}},$$
 что
согласуется с общей теорией (см. стр. 5 лекции).

Уравнения движения осциллятора "вверх горизонтально" решаются явно:

a) Решение при $E > 0$ (не обусловлено)

$$x(t) = \pm \sqrt{\frac{m}{\omega^2}} \dot{x}_0 \sin(\sqrt{\frac{\omega^2}{m}} t)$$

с начальными условиями $x(0) = 0$, $\dot{x}(0) =$

б) Решение при $E < 0$ (не обусловлено)

$$x(t) = \pm x_0 \cosh(\sqrt{\frac{\omega^2}{m}} t)$$

с начальными условиями $x(0) = \pm x_0$, $\dot{x}(0) = 0$.

в) Решение при $E = 0$ — сепаратрисе

$$x(t) = x_0 e^{\pm \sqrt{\frac{\omega^2}{m}} t}$$

Как видим, движение по сепаратрисе в бесконечность ($\pm\infty$), либо в точку неустойчивого равновесия ($x=0$) происходит бесконечно долго.

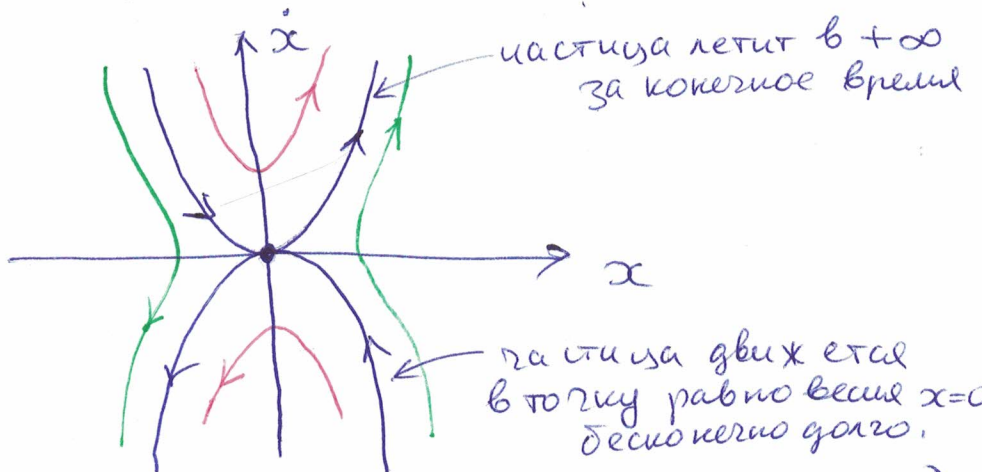
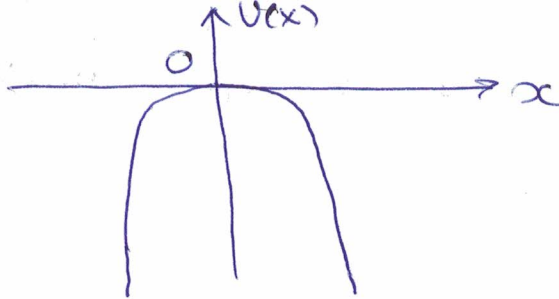
При мер 3 Обсудим "некорректный" случай, когда $U'' = 0$ в точке экстремума. Например

$$U(x) = -x^4$$

Закон сохранения энергии:

$$\frac{m\dot{x}^2}{2} - x^4 = E$$

График $U(x)$



Фазовый портрет:

Особая точка $x = \dot{x} = 0$ (экстремум $U(x)$ при $x=0$)

не классифицируется, поскольку $U''(0) = 0$.

Но задача может быть решена явно.

Сепаратриса $\boxed{\dot{x} = \pm \sqrt{\frac{2}{m}} x^2}$ (при $E=0$) — это параболы. Угол их наклона к оси $O\vec{x}$ в точке неустойчивого равновесия $x = \dot{x} = 0$ — нулевой.

Закон движения по сепаратрисе:

$$\boxed{\frac{1}{x(t)} = \frac{1}{x(0)} \mp \sqrt{\frac{2}{m}} t}$$

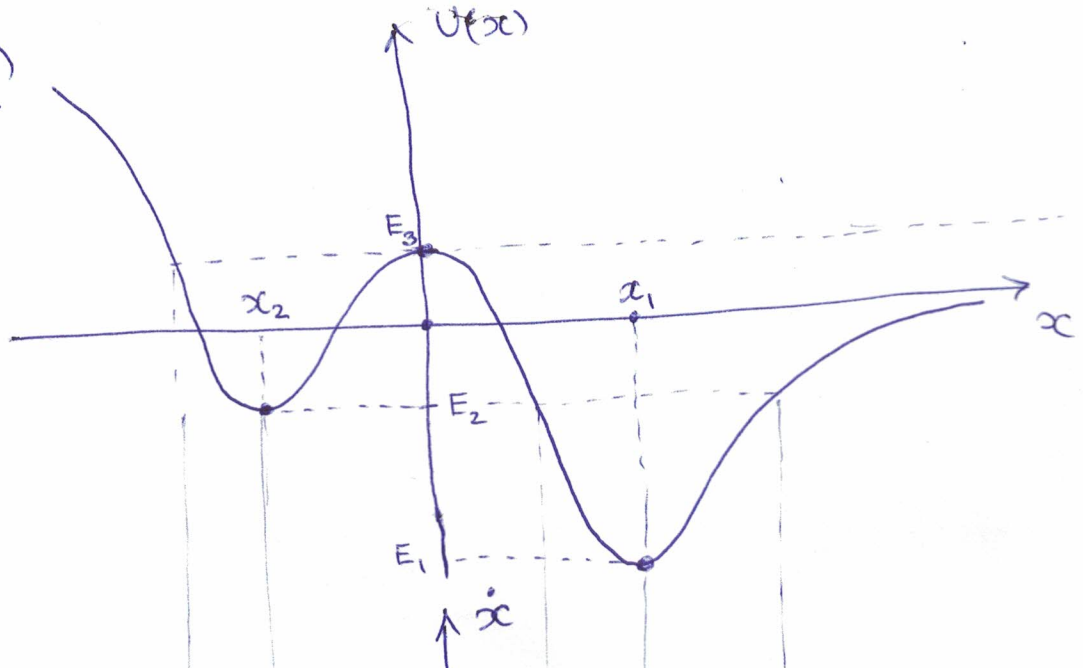
Видно, что за конечное время $t = \sqrt{\frac{m}{2}} \frac{1}{x(0)}$ частица может уйти на бесконечность

А вот в точку неустойчивого равновесия частица движется всё равно бесконечно долго.

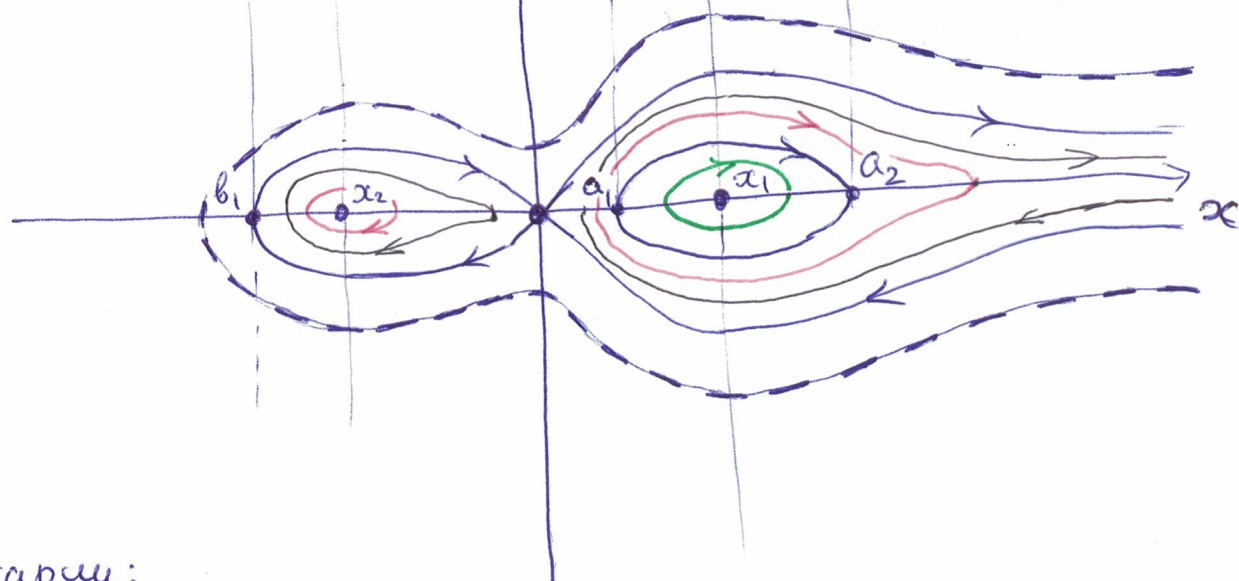
Пример 4 Типичный фазовый портрет.

(10)

График $U(x)$



Фазовый портрет



Комментарии:

- 1) $U(x)$ имеет локальное minimum в т. x_1 , и x_2 — это позиции устойчивого равновесия

$E_1 = U(x_1)$ — глобальный minimum $U(x)$. Этому уровню энергии соответствует 1 фазовая траектория — точка устойчивого равновесия в x_1 .

$E_2 = U(x_2)$ — не глобальный minimum. Помимо фазовой траектории — точки устойчивого равновесия в x_2 , этому уровню энергии соответствует еще

Замкнутые фазовые траектории, окружающие точку равновесия x_1 . Это — кривые с точками поворота a_1 и a_2 .

Всего две E_2 — две фазовых траектории.

- 2) $U(x)$ имеет локальный максимум при $x=0$ $U(0)=E_3$. Этому уровню энергии соответствует сепаратор, имеющий точку поворота b_1 слева и не ограниченная справа.
Точки неустойчивого равновесия $x=\dot{x}=0$ сепаратора делятся на 3 компонента: сверху сепаратора, имеющая точку поворота b_1 слева и не ограниченная справа.
- 3) При значениях энергии E : $E_1 < E < E_2$ имеем одну замкнутую фазовую траекторию, обрачивающуюся вокруг x_1 (зелёная на портрете)
- 4) При E : $E_2 < E < 0$ имеем 2 замкнутых разобщённых траектории, обрачивающиеся вокруг x_1 и x_2 (красное на портрете)
- 5) При E : $0 < E < E_3$ правая из этих двух траекторий разрывается и уходит на $+\infty$ по x . Это, т.к. $E=0$ — горизонтальная асимптота графика $U(x)$. Всё разные фазовые кривые — 2. (чёрное на портрете).
- 6) При E : $E > E_3$. две кривые склеиваются в овал. Она ограничена слева и не ограничена справа. (синее на портрете со штрихами).